

การประชุมวิชาการเครือข่ายวิศวกรรมเครื่องกลแห่งประเทศไทยครั้งที่ 15

## แบบจำลองคณิตศาสตร์ของเครื่องปรับอากาศบ้านพักอาศัยที่ใช้คอมเพรสเซอร์แบบเปลี่ยนแปลงความเร็ว

### Mathematical Model of Household Air-conditioners using a Variable Speed Compressor

**วุฒิศักดิ์ ธรรมนัญชาซีพ สุนันทา กลั่นคล้ายกัน สรวัฒน์ ฤทธิหนเปรeda และ วีระ จันทร์วัฒนา  
ภาควิชาวิศวกรรมเครื่องกล คณะวิศวกรรมศาสตร์ สถาบันเทคโนโลยีพระจอมเกล้าพระนครเหนือ**  
กรุงเทพฯ 10800 โทร 02-9132500 โทรสาร 02-5870026

**W. Thumbunchacheep, S. Klinkhlaijan, S. Kuntanapreeda, and V. Chanvattana**

**Department of Mechanical Engineering, King Mongkut's Institute of Technology North Bangkok  
Bangkok 10800, Thailand, Tel: 02-9132500, Fax: 02-5870026**

#### บทคัดย่อ

บทความนี้เป็นการศึกษาสมการแบบจำลองคณิตศาสตร์ของเครื่องปรับอากาศบ้านพักอาศัยที่ใช้คอมเพรสเซอร์แบบเปลี่ยนแปลงความเร็ว บนสมการแบบจำลองนี้เป็นงานเริ่มต้นที่ทำโดย He, Liu และ Asada [1] และเป็นสมการเชิงอนุพันธ์สามัญที่ไม่เป็นเชิงเส้นอันดับที่ 13 ซึ่งหาจาก การประมาณแบบก้อน (lump approximation) ความถูกต้องหรือใช้ได้ ของแบบจำลองตรวจสอบโดยการเบรี่ยนเทียนผลตอบสนองจากการ จำลองการทำงานในคอมพิวเตอร์ของแบบจำลองกับผลตอบสนองจริงที่ วัดจากเครื่องปรับอากาศ ผลตอบสนองที่ทำการวัดประกอบด้วย ความ ดันด้านทางเข้าของอิเล็กทรอนิกส์ อุณหภูมิของห้องและเปลี่ยนความ ร้อนของอิเล็กทรอนิกส์ และอุณหภูมิของห้องและเปลี่ยนความร้อนของ คอมเพรสเซอร์ ผลลัพธ์การเบรี่ยนเทียนพบว่าผลตอบสนองที่ได้จากการ จำลองมีความสอดคล้องกับผลตอบสนองจริงอย่างดี ดังนั้นในภารกิจฯ ขั้นต้นนี้สามารถสรุปได้ว่าแบบจำลองนี้ใช้ได้ดีพอเพียงสำหรับการเป็น ดั้งเดิมของระบบจริงที่จะใช้สำหรับการศึกษาการควบคุมต่อไป

#### Abstract

This paper studies a mathematical model of household air-conditioners that use a variable speed compressor. The model is the original work of He, Liu, and Asada [1] and is a 13-order nonlinear ordinary differential equation, which is derived from lump approximation. The validity of the model is verified by comparing the computer simulation responses of the model with the actual responses measured from an air-conditioner. The measured responses consist of pressure at the inlet of the evaporator, temperature of the evaporator's heat exchange tube, and temperature of the condenser's heat exchange tube. The comparison results showed that the simulated responses match very well with the actual ones. Therefore, in this preliminary study it can be concluded that the model is sufficiently being a

representative of the actual system for later control design proposes.

#### 1. บทนำ

เนื่องจากความต้องการพลังงานมีมากขึ้นทุกปีในขณะที่ความสามารถ ในการผลิตพลังงานมีอยู่อย่างจำกัด ดังจะเห็นได้ว่ามีการรณรงค์ในเรื่อง การช่วยกันประหยัดพลังงานมากขึ้น โดยประมาณวันละ 60 ของพลัง งานไฟฟ้าที่ใช้ในบ้านพักอาศัยจะถูกใช้ในส่วนของเครื่องปรับอากาศ และส่วนประมาณของเครื่องปรับอากาศที่ใช้พลังงานไฟฟ้ามากคือ คอมเพรสเซอร์ ซึ่งการทำงานของคอมเพรสเซอร์ของเครื่องปรับอากาศ ที่พบเห็นทั่วไปจะทำงานตามอุปกรณ์ควบคุมอุณหภูมิที่เรียกว่าเทอร์ โมสตัท (Thermostat) โดยจะทำหน้าที่ตัดต่อวงจรไฟฟ้าที่ให้กับ คอมเพรสเซอร์เพื่อให้อุณหภูมิภายในห้องอยู่ในช่วงที่ต้องการ ทำให้ เครื่องปรับอากาศมีลักษณะการทำงานแบบเปิด-ปิด (On-Off) ส่งผลให้ ประสิทธิภาพการใช้พลังงานลดลง

การที่เครื่องปรับอากาศทำงานแบบเปิด-ปิดทำให้เกิด cycling loss และประสิทธิภาพการทำงานที่สภาวะคงตัว (steady-state efficiency) ของระบบลดลง เนื่องจากการถูกเรียกพลังงานในช่วงเริ่มต้นเมื่อ คอมเพรสเซอร์ทำงาน อีกทั้งการทำงานแบบเปิด-ปิดนี้ยังทำให้ระดับ อุณหภูมิที่ควบคุมไม่สม่ำเสมอและเป็นการลดค่า reliability ของระบบ ด้วย [2-3] จากสาเหตุเหล่านี้ทำให้เกิดแนวความคิดในการวิจัยและ พัฒนาเครื่องปรับอากาศที่สามารถเปลี่ยนแปลงความเร็วของ คอมเพรสเซอร์ให้ทำงานสอดคล้องตามภาวะความร้อนจริงในห้อง

บทความนี้เป็นการศึกษาสมการแบบจำลองคณิตศาสตร์ของเครื่อง ปรับอากาศบ้านพักอาศัยที่ใช้คอมเพรสเซอร์แบบเปลี่ยนแปลงความเร็ว รอบเพื่อใช้สำหรับการศึกษาการควบคุมต่อไป ความถูกต้องของแบบ จำลองจะตรวจสอบโดยการเบรี่ยนเทียนผลตอบสนองที่วัดได้จริงจากเครื่องปรับ อากาศ

## 2. แบบจำลองทางคณิตศาสตร์

สมการแบบจำลองคณิตศาสตร์ของเครื่องบีบอากาศที่ใช้ในงานวิจัยนี้ เป็นงานเรียนดันที่หาโดย He, Liu และ Asada [1] โดยเป็นสมการแบบ lump model แบบจำลองของห้องระบายประgon ที่มาจากสมการคณิตศาสตร์ของอีแวนปอร์เตอร์ (evaporator) คอนเดนเซอร์ (condenser) คอมเพรสเซอร์ (compressor) และวาล์วลดความดัน (expansion valve) โดยรวมกันแล้วได้เป็นสมการอนุพันธ์สามัญที่ไม่เป็นเชิงเส้นที่มีค่าอันดับเท่ากับ 13

แบบจำลองทางคณิตศาสตร์ของอีแวนปอร์เตอร์ประกอบด้วย สมการสมดุลมวล สมการสมดุลโมเมนตัม และสมการสมดุลพลังงาน ตามลำดับ ดังนี้

$$\frac{\partial \rho}{\partial t} + \frac{\partial (\rho u)}{\partial z} = 0 \quad (1)$$

$$\frac{\partial(\rho u)}{\partial t} + \frac{\partial(\rho u^2 + P)}{\partial z} = -\frac{4}{D} \mu \frac{l}{2} \rho u^2 \quad (2)$$

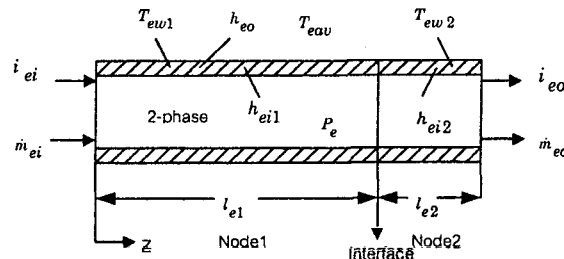
$$\frac{\partial(\rho i - P)}{\partial t} + \frac{\partial(\rho ui)}{\partial z} = \frac{4}{D} h_i (T_w - T) \quad (3)$$

- โดยที่  $\rho$  คือ ความหนาแน่นของสารทำความเย็น  
 $D$  คือ ขนาดเส้นผ่านศูนย์กลางของท่อของอุปกรณ์แลกเปลี่ยนความร้อน  
 $u$  คือ ความเร็วการไหลในแนวแกนของท่อ  
 $z$  คือ ระยะทางตามแนวแกนของท่อ  
 $T_w$  คือ อุณหภูมิของผนังท่อ  
 $T$  คือ อุณหภูมิของสารทำความเย็น  
 $P$  คือ ความดันของสารทำความเย็น  
 $i$  คือ ค่าэнthalpy ของสารทำความเย็นภายในห้องของอุปกรณ์แลกเปลี่ยนความร้อน  
 $\mu$  คือ ค่าความหนืดพลศาสตร์ของสารทำความเย็น  
 $h$  คือ ค่าสัมประสิทธิ์การพากความร้อน

โดยที่ไว้ในแล้วความดันสูญเสียอันเนื่องมาจากการเปลี่ยนแปลงไม่แน่ตัมและความเสียดทานมีค่าน้อยมาก ทำให้เราสามารถตัดสมการสมดุลโมเมนตัมออกได้

พิจารณาสารทำความเย็นที่ไหลในห้องของตัวอีแวนปอร์เตอร์เป็นสองช่วง ดังแสดงในรูปที่ 1 ซึ่งประกอบด้วยช่วงที่สารทำความเย็นเป็นแบบสองสถานะ (two-phase) และช่วงที่สารทำความเย็นเป็นไอดง (superheated vapor) จะได้ตัวแปรสภาวะของระบบที่เปลี่ยนแปลงตามเวลาทั้งหมด 9 ตัวแปร ประกอบด้วย (1) ความยาว  $l_{e1}$  ของห่อที่เป็นช่วงสองสถานะ (2) ความดัน  $P_e$  ของสารทำความเย็น (3) ค่าเอนชาลปี  $i_{eo}$  ของสารทำความเย็นที่ไหลออกจากตัวอีแวนปอร์เตอร์ (4) ค่าอุณหภูมิ  $T_{ew1}$  ที่ผนังห่อในช่วงสองสถานะ (5) ค่าอุณหภูมิ  $T_{ew2}$  ที่ผนังห่อในช่วง superheated vapor (6) ค่าอุณหภูมิ  $T_{eav}$  ของอากาศ

ภายในห้อง (7) อัตราไอลชิ่งมวล  $m_{ei}$  ของสารทำความเย็นที่หลุดเข้าห้องอีแวนปอร์เตอร์ (8) อัตราไอลชิ่งมวล  $m_{eo}$  ของสารทำความเย็นที่ไหลออกจากตัวอีแวนปอร์เตอร์ และ (9) ค่าเอนชาลปี  $i_{eo}$  ของสารทำความเย็นที่หลุดเข้าห้องอีแวนปอร์เตอร์ โดยที่สามารถทั้งจะเป็นตัวแปรอินพุทของอีแวนปอร์เตอร์



รูปที่ 1 การแบ่งช่วงตัวแปร lump ของอีแวนปอร์เตอร์

จากการดำเนินการทางคณิตศาสตร์และจัดรูปใหม่ สุดท้ายสามารถเขียนสมการคณิตศาสตร์ของอีแวนปอร์เตอร์ในรูปแบบสมการสแตกได้ดังนี้

$$\dot{x}_e = D_e^{-1} f_e(x_e, u_e)$$

โดยที่เวกเตอร์ของตัวแปรสแตกคือ

$$x_e = [l_{e1} \quad P_e \quad i_{eo} \quad T_{ew1} \quad T_{ew2} \quad T_{eav}]^T$$

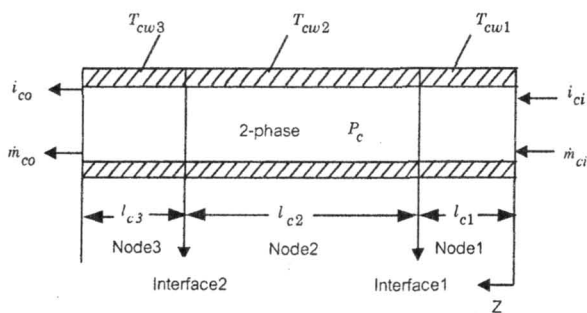
ตัวแปรอินพุตคือ

$$u_e = [\dot{m}_{ei} \quad i_{ei} \quad \dot{m}_{eo}]^T$$

โดยที่รายละเอียดของสมการได้แสดงไว้ในภาคผนวก และสามารถหาอุรุณละเมียดของการดำเนินการทางคณิตศาสตร์ได้จาก [1, 4]

แบบจำลองทางคณิตศาสตร์ของคอนเดนเซอร์สามารถหาได้เช่นเดียวกับการหาแบบจำลองของอีแวนปอร์เตอร์ที่กล่าวมาแล้วข้างต้น โดยทางด้านคอนเดนเซอร์จะพิจารณาการไหลของสารทำความเย็นเป็น 3 ช่วง ซึ่งประกอบด้วยช่วงที่ 1 ซึ่งเป็นช่วงไอดง (superheated vapor) ช่วงที่ 2 เป็นช่วงสองสถานะ (two-phase) และช่วงที่ 3 ซึ่งเป็นช่วงของเหลว (subcooled liquid) ดังแสดงในรูปที่ 2 โดยมีตัวแปรที่เปลี่ยนแปลงตามเวลาทั้งหมด 10 ตัวแปร ประกอบด้วย (1) ความยาว  $l_{c1}$  ของห่อช่วง node 1 (2) ความยาว  $l_{c2}$  ของห่อช่วง node 2 (3) ความตัน  $P_c$  ของสารทำความเย็น (4) ค่าเอนชาลปี  $i_{eo}$  ของสารทำความเย็นที่ไหลออกจากคอนเดนเซอร์ (5) ค่าอุณหภูมิ  $T_{cw1}$  ที่ผนังห่อในช่วง node 1 (6) ค่าอุณหภูมิ  $T_{cw2}$  ที่ผนังห่อในช่วง node 2 (7) ค่าอุณหภูมิ  $T_{cw3}$  ที่ผนังห่อในช่วง node 3 (8) อัตราไอลชิ่งมวล  $\dot{m}_{ci}$  ของสารทำความเย็นที่หลุดเข้าคอนเดนเซอร์ (9) อัตราไอลชิ่งมวล  $\dot{m}_{co}$  ของสารทำความเย็นที่ไหลออกจากคอนเดนเซอร์ และ (10)

ค่าอ่อนชลอพี  $i_{ci}$  ของสารทำความเย็นที่ไหลเข้าด้วยอนเดนเซอร์ โดยที่สามตัวแปรหลังจะเป็นตัวแปรอินพุทของคอนเดนเซอร์



รูปที่ 2 การแบ่งช่วงตัวแปร lump ของดั้วคอนเดนเซอร์

จากการดำเนินการทางคณิตศาสตร์และจัดรูปใหม่ลักษณะเดียวกันกับอิเวนปอร์เตอร์ จะได้สมการคณิตศาสตร์ของคอนเดนเซอร์ในรูปแบบสมการstate (State Equation) ได้ดังนี้

$$\dot{x}_c = D_c^{-1} f_c(x_c, u_c)$$

โดยที่ตัวแปรสเตทคือ

$$x_c = [l_{ci} \quad l_{c2} \quad P_c \quad i_{co} \quad T_{cw1} \quad T_{cw2} \quad T_{cw3}]^T$$

ตัวแปรอินพุตคือ

$$u_c = [\dot{m}_{ci} \quad i_{ci} \quad \dot{m}_{co}]^T$$

โดยที่รายละเอียดของสมการได้แสดงไว้ในภาคผนวก และสามารถหาดูรายละเอียดของการดำเนินการทางคณิตศาสตร์ได้จาก [1, 4]

แบบจำลองทางคณิตศาสตร์ของวาร์ลลดความดันได้จากการพิจารณาสมการความต่อเนื่องและการเบอร์นูลลีของการไหลผ่านด้วน้ำ ซึ่งจะได้อัตราการไหลของสารทำความเย็น ดังนี้

$$\dot{m}_v = C_v A_v \sqrt{\rho_v (P_c - P_e)}$$

แบบจำลองสุดท้ายคือแบบจำลองของคอมเพรสเซอร์ ซึ่งจากการพิจารณาถึงอัตราการไหลของสารทำความเย็นที่ไหลผ่านด้วน้ำ คอมเพรสเซอร์นั้น จะได้ความสัมพันธ์ของอัตราการไหลเชิงมวลของสารทำความเย็น ดังนี้

$$\dot{m}_c = \omega V_c \rho_c \left[ 1 + C_c - C_c \left( \frac{P_c}{P_e} \right)^{1/n} \right]$$

ดังนั้นแบบจำลองของเครื่องปรับอากาศทั้งหมดสามารถหาได้จากการรวมกันของสมการแบบจำลองของตัวอิเวนปอร์เตอร์ สมการแบบจำลองของคอนเดนเซอร์ สมการแบบจำลองของวาร์ลลดความดัน และสมการของคอมเพรสเซอร์ ดังที่กล่าวมาแล้วข้างต้น ซึ่งสมการแบบ

จำลองของเครื่องปรับอากาศที่ได้นี้จะเป็นสมการอนุพันธ์แบบไม่เป็นเชิงเส้นที่มีค่าสำคัญเท่ากับ 13 โดยเขียนในรูปของสมการสถานะ (State Equation) ได้ดังนี้

$$\dot{x} = g(x, u)$$

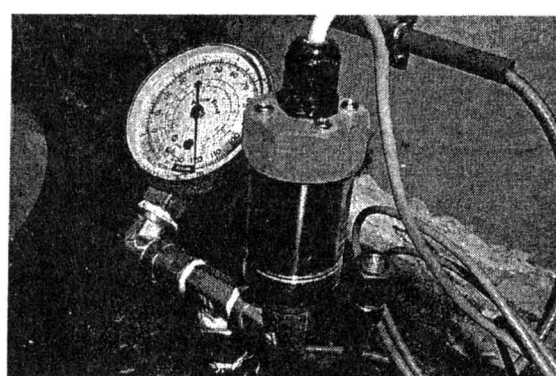
โดยที่  $u = \omega$  คือความเร็วของคอมเพรสเซอร์ซึ่งเป็นตัวแปรอินพุต และ  $x = [x_e^T \quad x_c^T]^T$  คือตัวแปรสเตทมีขนาดเท่ากับ 13 ซึ่งประกอบขึ้นจากตัวแปรสเตทของอิเวนปอร์เตอร์และของคอนเดนเซอร์

### 3. การตรวจสอบแบบจำลอง

การตรวจสอบความใช้ได้หรือถูกต้องของสมการแบบจำลองกระทำโดยการเปรียบเทียบค่าจากการจำลองในคอมพิวเตอร์กับสัญญาณผลตอบสนองที่วัดได้จากการทดลองกับเครื่องปรับอากาศจริง โดยเครื่องปรับอากาศที่ใช้ในการวิจัยนี้เป็นเครื่องปรับอากาศ Seijo-Denki รุ่น SNN-17T ซึ่งเป็นเครื่องปรับอากาศประเภทแยกส่วนขนาด 17,000 BTU/hr ใช้คอมเพรสเซอร์ขนาด 1.5 kW และใช้น้ำยา R22 เป็นสารทำความเย็น ติดตั้งอยู่ในห้องสี่เหลี่ยมขนาด  $27 \text{ m}^3$  ที่มีการบุ้งด้วยไนโตรเจนร้อนที่ผ่านรอบห้อง การเก็บข้อมูลจะทำได้โดยการวัดสัญญาณผลตอบสนองจากการเปิดปิดคอมเพรสเซอร์เป็นช่วงๆ โดยติดตั้งอุปกรณ์วัดหลักประกอบด้วย ชุดวัดความดัน ชุดวัดอุณหภูมิ และชุดบันทึกสัญญาณ ดังนี้

#### ชุดวัดความดัน

ชุดวัดความดันในงานวิจัยนี้ใช้สำหรับการวัดความดันภายในของสารทำความเย็น ประกอบด้วย ตัว Pressure Transducer ใช้สำหรับวัดความดันด้านอิเวนปอร์เตอร์ ดังแสดงในรูปที่ 3 ตัว Pressure Transducer ที่ใช้นี้มีช่วงการใช้งาน 0-10 bar เป็นชนิดไดอะแฟรมทำจากเซรามิก ให้สัญญาณผลลัพธ์เป็นสัญญาณกระแสไฟฟ้า 4-20mA ซึ่งเชื่อมต่อได้โดยตรงกับชุดบันทึกสัญญาณ

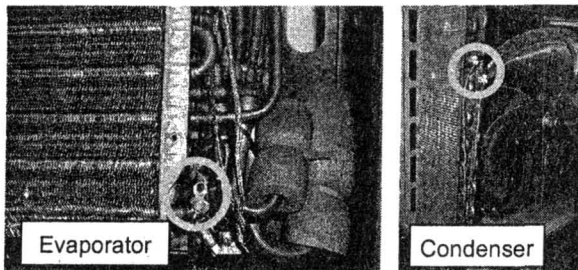


รูปที่ 3 แสดงการติดตั้ง Pressure Transducer

#### ชุดวัดอุณหภูมิ

ชุดวัดอุณหภูมิในงานวิจัยนี้ใช้ Thermocouple Type K จำนวน 2 เส้น เป็นอุปกรณ์หยั่งสัญญาณ (Sensors) โดยที่ Thermocouple ถูกหุ้มด้วยฉนวน Stainless Steel และเป็นแบบหางปลาใช้ขันยึดติดกับผิว

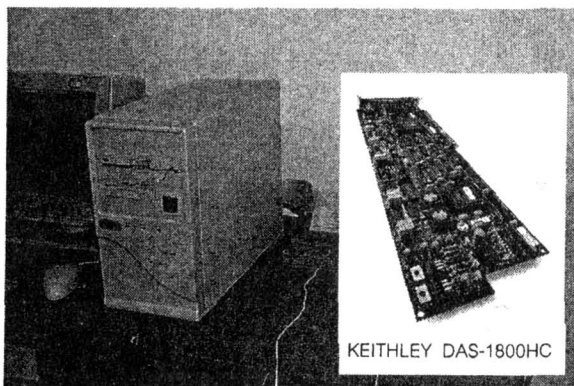
ท่อ ใช้วัดอุณหภูมิที่ผิวท่อของอีแวนปอร์เตอร์และคอนเดนเซอร์ ดังแสดงในรูปที่ 4 และใช้ Thermocouple Transmitter ในการแปลงค่าเป็นสัญญาณกระแสไฟฟ้า 4-20mA สำหรับส่งผ่านค่าให้กับชุดบันทึกสัญญาณต่อไป



รูปที่ 4 แสดงการติดตั้ง Thermocouple

#### ชุดบันทึกสัญญาณ

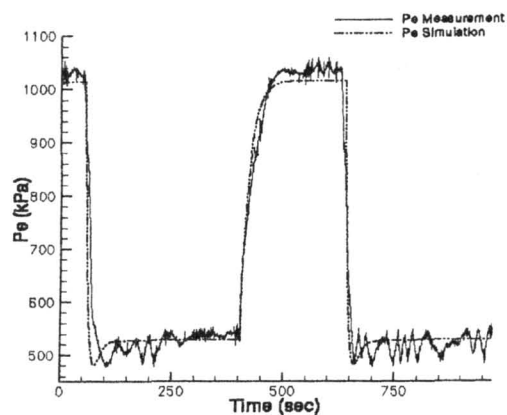
ชุดบันทึกสัญญาณที่ใช้ประกอบด้วยคอมพิวเตอร์และการ์ดเชื่อมต่อสัญญาณ DAS-1800HC ผลิตโดยบริษัท Keithley Instruments, Inc. ซึ่งติดตั้งอยู่ภายในเครื่องคอมพิวเตอร์ ดังแสดงในรูปที่ 5



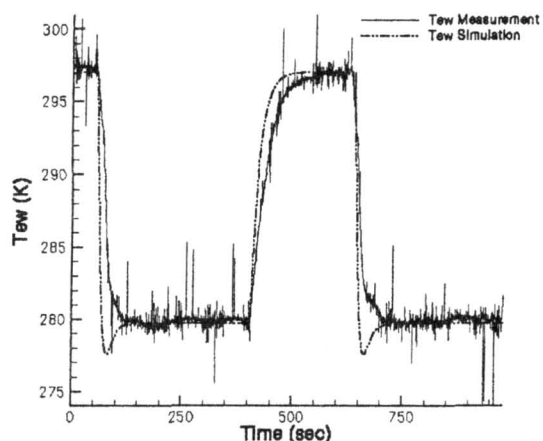
รูปที่ 5 คอมพิวเตอร์และการ์ด DAS-1800HC

#### 4. ผลลัพธ์การเปรียบเทียบ

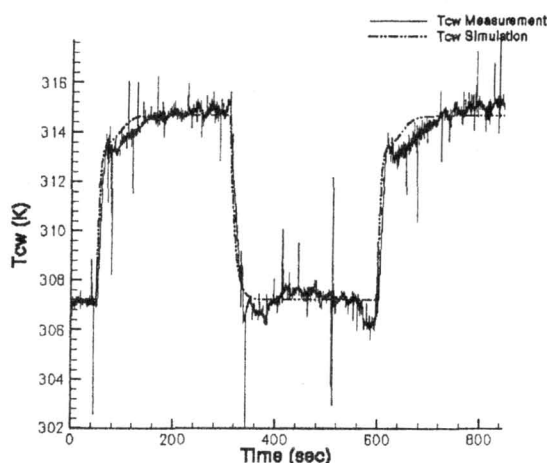
รูปที่ 6 แสดงผลการเปรียบเทียบความดันด้านอีแวนปอร์เตอร์จาก การวัดค่าสัญญาณตอบสนองจากเครื่องปรับอากาศจริงและค่าจากการ จำลองการทำงานในคอมพิวเตอร์ จะสังเกตพบว่าความดันด้านอีแวนป อรเตอร์จะลดต่ำลงเมื่อคอมเพรสเซอร์ของเครื่องปรับอากาศทำงาน และความดันจะเพิ่มขึ้นเมื่อคอมเพรสเซอร์หยุดทำงาน และผลลัพธ์ของการ เปรียบเทียบอุณหภูมิที่ผิวท่อด้านอีแวนปอร์เตอร์ที่ได้จากการวัดค่าและ จากการจำลองจะเป็นไปในทิศทางเดียวกันกับค่าความดัน ดังแสดงใน รูปที่ 7 ในส่วนของคอนเดนเซอร์ค่าที่วัดได้คืออุณหภูมิที่ผิวท่อ ซึ่งผลที่ ได้ดังแสดงในรูปที่ 8 จะตรงกันข้ามกับค่าอุณหภูมิของผิวท่อด้านอีแ วนปอร์เตอร์ คือ อุณหภูมิที่ผิวท่อด้านคอนเดนเซอร์จะเพิ่มขึ้นเมื่อ คอมเพรสเซอร์ทำงานและจะลดต่ำลงเมื่อคอมเพรสเซอร์หยุดทำงาน



รูปที่ 6 เปรียบเทียบความดันด้านอีแวนปอร์เตอร์



รูปที่ 7 เปรียบเทียบอุณหภูมิที่ผิวท่อของอีแวนปอร์เตอร์



รูปที่ 8 เปรียบเทียบอุณหภูมิที่ผิวท่อของคอนเดนเซอร์

จากการเปรียบเทียบข้างต้นพบว่าค่าผลลัพธ์ที่ได้จากการจำลองการทำงานในคอมพิวเตอร์โดยใช้แบบจำลองมีความใกล้เคียงกับค่าสัญญาณที่วัดได้จากเครื่องบันทึกอุณหภูมิระดับที่น้ำพ้อใจ และสามารถสรุปได้ว่าแบบจำลองที่ได้มาันนี้มีความใกล้เคียงกับระบบจริงมากเพียงพอที่จะเชื่อถือได้ว่าแบบจำลองสามารถใช้เป็นตัวแทนของระบบจริงในการศึกษาการควบคุมต่อไปได้

#### เอกสารอ้างอิง

- [1] Xiang-Dong He, Sheng Liu, and Haruhiko H. Asada, "Modeling of vapor compression cycle for multivariable feedback control of HVAC systems", Journal of Dynamic Systems, Measurement, and Control, June 1997, Vol.119,pp.183-191
- [2] S.A.Tassou and T.Q.Qureshi, "Comparative performance evaluation of positive displacement compressors in variable-speed refrigeration applications", Int. J. Refrig., Vol. 21, No. 1, page 29-41, 1998
- [3] T.Q.Qureshi and S.A.Tassou, "Variable-Speed capacity control in refrigeration systems", Applied Thermal Engineering, Vol 16, No. 2, 1996, pp.103-113
- [4] ศุภัณฑ์ ฤทธิธนาเมธี, การศึกษาการควบคุมขั้นต้นเพื่อการประยุกต์ พลังงานของเครื่องปรับอากาศที่ใช้คอมเพรสเซอร์ที่เปลี่ยนความเรื้อรับได้, รายงานวิจัยคณะวิศวกรรมศาสตร์ สถาบันเทคโนโลยีพระจอมเกล้าฯ พระนครเหนือ, พ.ศ. 2543

#### ภาคผนวก

สมการแบบจำลองคณิตศาสตร์ของเส้นทางแรงดึงดูดสามารถเขียนในรูปแบบสมการสแตก (State Equation) ได้ดังนี้

$$\dot{x}_e = D_e^{-1} f_e(x_e, u_e)$$

โดยที่เวกเตอร์ของตัวแปรสแตกคือ

$$x_e = [l_{e1} \quad P_e \quad i_{eo} \quad T_{ew1} \quad T_{ew2} \quad T_{eav}]^T$$

ตัวแปรอินพุทคือ

$$u_e = [\dot{m}_{ei} \quad i_{ei} \quad \dot{m}_{eo}]^T$$

และ

$$f_e = \begin{bmatrix} \dot{m}_{ei}i_{ei} - \dot{m}_{ei}i_{eg} + h_{ei}\pi D_{ei}l_{e1}(T_{ew1} - T_{er1}) \\ \dot{m}_{eo}i_{eg} - \dot{m}_{eo}i_{eo} + h_{eo}\pi D_{eo}l_{e2}(T_{ew2} - T_{er2}) \\ \dot{m}_{ei} - \dot{m}_{eo} \\ h_{ei}\pi D_{ei}(T_{er1} - T_{ew1}) + h_{eo}\pi D_{eo}(T_{ea} - T_{ew1}) \\ h_{ei2}\pi D_{ei}(T_{er2} - T_{ew2}) + h_{eo}\pi D_{eo}(T_{ea} - T_{ew2}) \\ h_{eo}\pi D_{eo}l_{e1}(T_{ew1} - T_{eav}) + h_{eo}\pi D_{eo}l_{e2}(T_{ew2} - T_{eav}) \end{bmatrix}$$

$$D_e = \begin{bmatrix} d_{e11} & d_{e12} & 0 & 0 & 0 & 0 \\ d_{e21} & d_{e22} & d_{e23} & 0 & 0 & 0 \\ d_{e31} & d_{e32} & d_{e33} & 0 & 0 & 0 \\ 0 & 0 & 0 & d_{e44} & 0 & 0 \\ d_{e51} & 0 & 0 & 0 & d_{e55} & 0 \\ 0 & 0 & 0 & 0 & 0 & d_{e66} \end{bmatrix}$$

โดยที่

$$d_{e11} = -A_e(1 - \gamma_e)\rho_{el}i_{efg}$$

$$d_{e12} = A_e l_{e1} \left( -(1 - \gamma_e) \frac{d(\rho_{el}i_{efg})}{dP_e} + \rho_{el} \frac{di_{eg}}{dP_e} - 1 \right)$$

$$d_{e21} = -\frac{1}{2} A_e (i_{eo} - i_{eg}) \rho_{e2}$$

$$d_{e22} = A_e l_{e2} \left( 0.5 \rho_{e2} \frac{di_{eg}}{dP_e} + 0.5(i_{eo} - i_{eg}) \frac{\partial \rho_{e2}}{\partial P_e} - 1 \right)$$

$$d_{e23} = A_e l_{e2} (0.5 \rho_{e2} + 0.5(i_{eo} - i_{eg}) \frac{\partial \rho_{e2}}{\partial i_{eo}})$$

$$d_{e31} = A_e (\rho_{el} - \rho_{e2})$$

$$d_{e32} = A_e \left( l_{e1} \frac{d\rho_{el}}{dP_e} + l_{e2} \frac{\partial \rho_{e2}}{\partial P_e} \right)$$

$$d_{e33} = A_e l_{e2} \frac{\partial \rho_{e2}}{\partial i_{eo}}$$

$$d_{e34} = (C_p \rho A)_{ew}$$

$$d_{e51} = (C_p \rho A)_{ew} \frac{T_{ew1} - T_{ew2}}{l_{e2}}$$

$$d_{e55} = (C_p \rho A)_{ew}$$

$$d_{e66} = (\rho CV)_{room}$$

สมการแบบจำลองคณิตศาสตร์ของคอนเดนเซอร์สามารถเขียนในรูปแบบสมการสแตก (State Equation) ได้ดังนี้

$$\dot{x}_c = D_c^{-1} f_c(x_c, u_c)$$

โดยที่ตัวแปรสแตกคือ

$$x_c = [l_{c1} \quad l_{c2} \quad P_c \quad i_{co} \quad T_{cw1} \quad T_{cw2} \quad T_{cw3}]^T$$

ตัวแปรอินพุทคือ

$$u_c = [\dot{m}_{ci} \quad i_{ci} \quad \dot{m}_{co}]^T$$

และ

$$f_c = \begin{bmatrix} \dot{m}_{ci} i_{ci} - \dot{m}_{co} i_{cg} + h_{ci1} \pi D_{ci} l_{c1} (T_{cw1} - T_{cr1}) \\ \dot{m}_{co} i_{cg} - \dot{m}_{co} i_{cl} + h_{ci2} \pi D_{ci} l_{c1} (T_{cw1} - T_{cr1}) \\ \dot{m}_{co} i_{cl} - \dot{m}_{co} i_{co} + h_{ci1} \pi D_{ci} l_{c1} (T_{cw1} - T_{cr1}) \\ \dot{m}_{ci} - \dot{m}_{co} \\ h_{ci1} \pi_{ci} D_{ci} (T_{cr1} - T_{cw1}) + h_{co} \pi D_{co} (T_{ca} - T_{cw1}) \\ h_{ci2} \pi_{ci} D_{ci} (T_{cr2} - T_{cw2}) + h_{co} \pi D_{co} (T_{ca} - T_{cw2}) \\ h_{ci3} \pi_{ci} D_{ci} (T_{cr3} - T_{cw3}) + h_{co} \pi D_{co} (T_{ca} - T_{cw3}) \end{bmatrix}$$

$$D_c = \begin{bmatrix} d_{c11} & 0 & d_{d13} & 0 & 0 & 0 & 0 \\ d_{c21} & d_{c22} & d_{c23} & 0 & 0 & 0 & 0 \\ d_{c31} & d_{c32} & d_{c33} & d_{c34} & 0 & 0 & 0 \\ d_{c41} & d_{c42} & d_{c43} & 0 & 0 & 0 & 0 \\ d_{c51} & 0 & 0 & 0 & d_{c55} & 0 & 0 \\ 0 & 0 & 0 & 0 & 0 & d_{c66} & 0 \\ d_{c71} & d_{c72} & 0 & 0 & 0 & 0 & d_{c77} \end{bmatrix}$$

โดยที่

$$d_{c11} = 0.5 A_c \rho_{cl} (i_{ci} - i_{cg})$$

$$d_{c13} = A_c l_{cl} \left[ \rho_{cl} \frac{di_{cg}}{dP_c} + 0.5 (i_{ci} - i_{cg}) \left( \frac{d\rho_{cl}}{dP_c} + \frac{d\rho_{cl}}{di_{cl}} \frac{di_{cg}}{dP_c} \right) - 1 d_{c13} \right]$$

$$d_{c21} = A_c \rho_{cl} i_{cfg}$$

$$d_{c22} = A_c \bar{\gamma}_c \rho_{cl} i_{cfg}$$

$$d_{c23} = A_c l_{c2} \left[ -(1 - \bar{\gamma}_e) \frac{d(\rho_{cl} i_{cfg})}{dP_c} + \rho_{c2} \frac{di_{cg}}{dP_c} - 1 \right]$$

$$d_{c31} = 0.5 A_c \rho_{cl} (i_{cl} - i_{co})$$

$$d_{c32} = 0.5 A_c \rho_{cl} (i_{cl} - i_{co})$$

$$d_{c33} = A_c l_{c3} (0.5 \rho_{cl} \frac{di_{cl}}{dP_c} - 1)$$

$$d_{c34} = 0.5 A_c l_{c3} \rho_{cl}$$

$$d_{c41} = A_c (\rho_{cl} - \rho_{cl})$$

$$d_{c42} = A_c (\rho_{c2} - \rho_{cl})$$

$$d_{c43} = A_c l_{c1} \left( \frac{d\rho_{cl}}{dP_c} + \frac{d\rho_{cl}}{di_{cl}} \frac{di_{cg}}{dP_c} \right) + A_c l_{c2} \frac{d\rho_{c2}}{dP_c}$$

$$d_{c51} = (C_p \rho A)_{cw} \frac{T_{cw1} - T_{cw2}}{l_{c1}}$$

$$d_{c66} = (C_p \rho A)_{cw}$$

$$d_{c71} = (C_p \rho A)_{cw} \frac{T_{cw2} - T_{cw3}}{l_{c3}}$$

$$d_{c72} = (C_p \rho A)_{cw} \frac{T_{cw2} - T_{cw3}}{l_{c3}}$$

$$d_{c77} = (C_p \rho A)_{cw}$$